

УДК 546.311'43'42'654'882'883'82'83'814'68'723'63

Ю.О.Тітов<sup>1\*</sup>, М.С.Слободяник<sup>1</sup>, В.В.Полубінський<sup>2</sup>, В.В.Чумак<sup>3</sup>

**ОСОБЛИВОСТІ УТВОРЕННЯ ШАРУВАТИХ СПОЛУК ТИПУ  $A_nB_{n-1}O_{3n}$   
В СИСТЕМАХ  $A_4B_3O_{12}-A^*B^*O_3$**

<sup>1</sup> Київський національний університет ім. Тараса Шевченка, вул. Володимирська, 64/13,  
Київ, 01601, Україна

<sup>2</sup> Луцька філія ТзОВ Медичний коледж "Монада", вул. Домни Гордіюк, 6,  
Луцьк, 43026, Україна

<sup>3</sup> Житомирський державний університет ім. Івана Франка, вул. Велика Бердичівська, 40,  
Житомир, 10002, Україна

\* e-mail: [tit@univ.kiev.ua](mailto:tit@univ.kiev.ua)

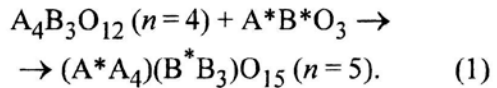
Проведено систематичне дослідження можливості одержання сполук сімейства  $A_nB_{n-1}O_{3n}$  ( $n=5$ ) з шаруватою перовськітоподібною структурою (ШПС) в 46 еквімолярних системах типу  $A_4B_3O_{12}+A^*B^*O_3$ ,  $A_4B_3O_{12}+A^{II}B^{IV}O_3$  та  $A_4B_3O_{12}+A^{III}B^{III}O_3$  ( $A=\text{Ba}, \text{Sr}, \text{La}, A^{II}=\text{Na}, \text{K}, A^{III}=\text{Ba}, \text{Sr}, A^{IV}=\text{La}, B=\text{Ti}, \text{Nb}, \text{Ta}, B^{III}=\text{Ga}, \text{Fe}, \text{Sc}, \text{In}, B^{IV}=\text{Sn}, \text{Zr}, \text{Ti}, B^{V}=\text{Nb}, \text{Ta}$ ). Проаналізовані умови формування сполук типу  $A_5B_4O_{15}$  з ШПС та визначено необхідні геометричні критерії їх утворення.

**Ключові слова:** сполуки типу  $A_nB_{n-1}O_{3n}$ , шарувата перовськітоподібна структура, еквімолярні системи.

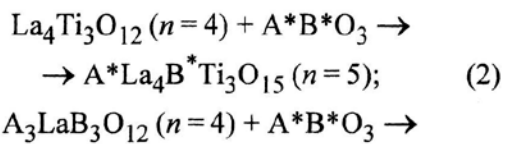
**ВСТУП.** Кераміка на основі чотиришарових представників сімейства сполук типу  $A_nB_{n-1}O_{3n}$  ( $n=5$ ) поєднує високі і стабільні значення діелектричної проникності, високу добродійність, низький температурний коефіцієнт резонансної частоти та високі теплопровідність і міцність, що дозволяє віднести її до найбільш перспективних матеріалів сучасної мікрохвильової техніки [1–10]. Шарувата перовськітоподібна структура (ШПС) цих сполук складається з двовимірних блоків структури типу перовськіту товщиною в 4 шари, з'єднаних вершинами октаедрів  $BO_6$ , які розділені шаром вакантних октаедрів  $\square O_6$  [1]. Зв'язок між октаедрами сусідніх блоків відсутній, а з'єднання блоків здійснюється за допомогою зміщень до країв блоку атомів типу А через зв'язки  $-\text{O}-\text{A}-\text{O}-$ . Кількість відомих сполук  $A_5B_4O_{15}$  з ШПС і їх елементний склад дуже обмежені. Відомі представники цього типу сполук з  $A=\text{Ba}, \text{Sr}, \text{Ca}, \text{La}, \text{Nd}, B=\text{Ti}, \text{Nb}, \text{Ta}$  [1–10] та обмежене число сполук типу  $\text{La}_5B^{III}\text{Ti}_3O_{15}$  ( $B^{III}=\text{Ga}, \text{Fe}, \text{Sc}$ ,

$\text{In}$ ) [2, 11, 12]. Систематичних досліджень можливості одержання  $\text{Na}-, \text{K}-, \text{Sn}-, \text{Zr}$ -вмісних сполук типу  $A_5B_4O_{15}$  з чотиришаровою ШПС досі не проводилось, що не давало змоги визначити критерії їх утворення.

З кристалохімічної точки зору утворення чотиришарових сполук  $A_5B_4O_{15}$  можна розглядати як "дорощування" перовськітом  $A^*B^*O_3$  числа шарів октаедрів  $BO_6$  у тришаровому перовськітоподібному блоці сполуки  $A_4B_3O_{12}$ :



Мета даної роботи — встановлення можливості одержання сполук складу  $(A^*A_4)(B^*B_3)O_{15}$  ( $A=\text{Ba}, \text{Sr}, \text{La}, A^*=\text{Na}, \text{K}, \text{Ba}, \text{Sr}, \text{La}, B=\text{Ti}, \text{Nb}, \text{Ta}, B^*=\text{Ga}, \text{Fe}, \text{Sc}, \text{In}, \text{Sn}, \text{Zr}, \text{Ti}, \text{Nb}, \text{Ta}$ ) із чотиришаровою ШПС за схемами:



© Ю.О.Тітов, М.С.Слободяник, В.В.Полубінський, В.В.Чумак, 2017



та визначення факторів, які впливають на утворення чотиришарових сполук типу  $A_5B_4O_{15}$ .

**ЕКСПЕРИМЕНТ I ОБГОВОРЕННЯ РЕЗУЛЬТАТИВ.** Полікристалічні зразки систем  $La_4Ti_3O_{12}-A^I B^V O_3$ ,  $A^{II}_3LaB^{IV}O_{12}+A^I B^V O_3$ ,  $La_4Ti_3O_{12}+LaGaO_3$ ,  $A^{II}_3LaB^{IV}O_{12}-LaB^{III}O_3$  ( $A^I = Na, K$ ,  $A^{II} = Ba, Sr$ ,  $B^{III} = Ga, Sc, In$ ,  $B^V = Nb, Ta$ ) синтезували за керамічною технологією з попередньо одержаних прекурсорів. Прекурсори  $A^{II}_3LaB^{IV}O_{12}$  ( $A^{II} = Ba, Sr$ ,  $B^V = Nb, Ta$ ),  $A^{II}B^{IV}O_3$  ( $A^{II} = Ba, Sr$ ,  $B^{IV} = Sn, Zr, Ti$ ) отримували термообробкою спільноосаджених гідроксикарбонатів (СОГК),  $La_4Ti_3O_{12}$ ,  $LaScO_3$ ,  $LaInO_3$  — термообробкою спільноосаджених гідроксидів (СОГ), а прекурсори  $A^I B^V O_3$  ( $A^I = Na, K$ ,  $B^V = Nb, Ta$ ) та  $LaGaO_3$  — за керамічною технологією. Полікристалічні зразки систем  $La_4Ti_3O_{12}+LaB^{III}O_3$  ( $B^{III} = Sc, In, Fe$ ) одержані термообробкою СОГ, систем  $La_4Ti_3O_{12}+A^{II}B^{IV}O_3$  ( $A^{II} = Ba, Sr$ ,  $B^{IV} = Sn, Zr$ ),  $A^{II}_3LaB^{IV}O_{12}+A^{II}B^{IV}O_3$  ( $A^{II} = Ba, Sr$ ,  $B^{IV} = Sn, Zr, Ti$ ,  $B^V = Nb, Ta$ ) та  $A^{II}_3LaB^{IV}O_{12}+LaFeO_3$  ( $A^{II} = Ba, Sr$ ,  $B^V = Nb, Ta$ ) — термообробкою СОГК.

Рентгенівські дослідження полікристалічних зразків проведенні на дифрактометрах ДРОН-3 та Shimadzu XRD-6000 ( $CuK_\alpha$ -випромінювання, швидкість зйомки 1 град/хв). Результати цих досліджень послідовно термооброблених в інтервалі температур від 870 до 1670 К (крок 100 К,  $\tau = 2$  год, з проміжними перетираннями після кожної стадії термообробки) механічних еквімолярних шихт прекурсорів та шихт спільноосаджених компонентів показали, що фазовий склад кінцевих продуктів термообробки визначається типом атомів  $A$ ,  $A^*$ ,  $B$ ,  $B^*$  у вихідній системі  $A_4B_3O_{12}$  ( $n=4$ ) +  $A^*B^*O_3$  (таблиця).

Обробка даних рентгенівського аналізу зразків послідовно термообробленої еквімолярної шихти сполук систем  $La_4Ti_3O_{12}+A^I B^V O_3$  та  $A^{II}_3LaB^{IV}O_{12}+A^I B^V O_3$  ( $A^I = Na, K$ ,  $A^{II} = Ba, Sr$ ,  $B^V = Nb, Ta$ ) виявила неможливість “дорощування” числа шарів октаедрів у тришарових перовськітоподібних блоках ШПС  $La_4Ti_3O_{12}$  і  $A^{II}_3LaB^{IV}O_{12}$  перовськітами, які

містять катіони лужних металів. Одержані зразки багатофазні, причому в системах з участию  $La_4Ti_3O_{12}$  головною є фаза на основі титанату  $La_2Ti_2O_7$ , який є чотиришаровим представником іншого (загальний склад  $A_nB_nO_{3n+2}$ ) сімейства сполук з ШПС, а в системах  $A^{II}_3LaB^{IV}O_{12}+A^I B^V O_3$  поряд з фазою на основі вихідної тришарової сполуки  $A^{II}_3LaB^{IV}O_{12}$  міститься, як правило, фаза зі структурою типу тетрагональної бронзи (ТБ) (таблиця).

Рентгенофазовий аналіз та індексування дифрактограм продуктів термообробки шихти СОГК із співвідношеннями  $La : A^{II} : Ti : B^V = 4:1:3:1$  (системи  $La_4Ti_3O_{12}-A^{II}B^{IV}O_3$ ) та  $La : A^{II} : B^{IV} : B^V = 1:4:1:3$  (системи  $A^{II}_3LaB^{IV}O_{12}-A^I B^{IV}O_3$ ,  $A^{II} = Ba, Sr$ ,  $B^{IV} = Sn, Zr$ ,  $B^V = Nb, Ta$ ) показали відсутність утворення при  $T \leq 1670$  К нових Sn-Zr-вмісних чотиришарових сполук із ШПС в цих системах (таблиця). У першому випадку формуються двофазні зразки, компонентами яких є фаза на основі чотиришарових титанатів із ШПС  $A^{II}La_4Ti_4O_{15}$  та фаза зі структурою типу пірохлору на основі  $La_2B^{IV}O_7$ .

Стронційвмісні сполуки ( $Sr_4LaB^{IV}B^{IV}O_{15}$ ,  $B^{IV} = Sn, Zr, Ti$ ,  $B^V = Nb, Ta$ ) також не утворюються, натомість, у кінцевій реакційній суміші присутні декілька фаз, серед яких основною є фаза зі структурою тетрагональної бронзи (таблиця). На відміну від відомих чотиришарових барійвмісних сполук  $Ba_4LaTiB^{IV}O_{15}$  ( $B^V = Nb, Ta$ ) [6] та  $Ba_4NdTiNb_3O_{15}$  [10] термообробка шихти СОГК зразків валового складу  $Ba_4LaB^{IV}B^{IV}O_{15}$  ( $B^{IV} = Sn, Zr$ ,  $B^V = Nb, Ta$ ) при  $T \leq 1670$  К приводить до утворення суміші фаз на основі чотиришарового  $Ba_5B^{IV}O_{15}$  та фази зі структурою тетрагональної бронзи.

Результати рентгенофазового аналізу та індексування дифрактограм продуктів термообробки еквімолярної суміші  $La_4Ti_3O_{12}+LaGaO_3$  та шихт СОГ із співвідношенням  $La : Ti : B^V = 5:3:1$  ( $B^{III} = Sc, In, Fe$ ) показали утворення чотирьох індивідуальних сполук з чотиришаровою ШПС складу  $La_5B^{III}Ti_3O_{15}$  ( $B^{III} = Ga, Fe, Sc, In$ ) [2, 11, 12].

Незмінний фазовий склад еквімолярних сумішей  $A^{II}_3LaB^{IV}O_{12}+A^{III}B^{III}O_3$  ( $A^{II} = Ba, Sr$ ,  $A^{III} = La$ ,  $B^{III} = Ga, Sc, In$ ,  $B^V = Nb, Ta$ ) при послідовній термообробці в температурному ін-

**Фазовий склад продуктів термообробки в системах  $A_4B_3O_{12}-A^*B^*O_3$**

Валовий склад	Фазовий склад
	Системи $La_4Ti_3O_{12}+A^I B^V O_3$ ( $A^I = Na, K, B^V = Nb, Ta$ )
$NaLa_4Ti_3NbO_{15}$	Фаза на основі $La_2Ti_2O_7$ + фаза на основі $La_4Ti_3O_{12}$ + фази
$NaLa_4Ti_3TaO_{15}$	Фаза на основі $La_2Ti_2O_7$ + фаза на основі $NaTaO_3$ + фази
$KLa_4Ti_3B^V O_{15}$	Фаза на основі $La_2Ti_2O_7$ + домішки фаз
	Системи $La_4Ti_3O_{12}+A^{II} B^{IV} O_3$ ( $A^{II} = Ba, Sr, B^{IV} = Sn, Zr$ )
$A^{II}La_4Ti_3B^{IV} O_{15}$	Фаза на основі $A^{II}La_4Ti_4O_{15}$ + фаза на основі $La_2B^{IV}O_7$
	Системи $La_4Ti_3O_{12}+LaB^{III} O_3$ ( $B^{III} = Sc, In, Fe, Ga$ )
$La_5B^{III}Ti_3O_{15}$	Індивідуальні сполуки $La_5B^{III}Ti_3O_{15}$ із ШПС [2, 11, 12]
	Системи $A^{II}LaB^V_3O_{12}+A^I B^V O_3$ ( $A^I = Na, K, A^{II} = Ba, Sr, B^V = Nb, Ta$ )
$NaSr_3LaB^V_4O_{15}$	Фаза зі структурою ТБ + фаза на основі $Sr_3LaB^V_3O_{12}$ + домішки фаз
$KSr_3LaNb_4O_{15}$	Фаза на основі $Sr_3LaNb_3O_{12}$ + домішки фаз
$KSr_3LaTa_4O_{15}$	Фаза на основі $Sr_3LaTa_3O_{12}$ + фаза зі структурою ТБ + домішки фаз
$A^I Ba_3LaB^V_4O_{15}$	Фаза на основі $Ba_3LaB^V_3O_{12}$ + фаза зі структурою ТБ + домішки фаз
	Системи $A^{II}LaB^V_3O_{12}+A^{II} B^{IV} O_3$ ( $A^{II} = Ba, Sr, B^{IV} = Ti, Sn, Zr, B^V = Nb, Ta$ )
$Sr_4LaTiNb_3O_{15}$	Фаза зі структурою ТБ + фаза на основі $LaNbO_4$
$Sr_4LaSnNb_3O_{15}$	Фаза зі структурою ТБ + фаза на основі $LaNbO_4$ + фаза на основі $SnO_2$
$Sr_4LaZrNb_3O_{15}$	Фаза зі структурою ТБ + фаза на основі $LaNbO_4$
$Sr_4LaTiTa_3O_{15}$	Фаза зі структурою ТБ + фаза на основі сполуки типу $A_nB_nO_{3n+2}$ з $n=4$
$Sr_4LaB^{IV}Ta_3O_{15}$ ( $B^{IV} = Sn, Zr$ )	Фаза зі структурою ТБ + фаза на основі $La_2B^{IV}O_7$
$Ba_4LaB^{IV}B^V_3O_{15}$ ( $B^{IV} = Sn, Zr, B^V = Nb, Ta$ )	Фаза на основі $Ba_5B^V_4O_{15}$ + фаза зі структурою ТБ
	Системи $A^{II}LaB^V_3O_{12}+A^{III} B^{III} O_3$ ( $A^{II} = Ba, Sr, A^{III} = La, B^{III} = Ga, Fe, Sc, In, B^V = Nb, Ta$ )
$A^{II}La_2B^{III}B^V_3O_{15}$ ( $B^{III} = Sc, In, Ga$ )	Фаза на основі $A^{II}LaB^V_3O_{12}$ + фаза на основі $LaB^{III}O_3$
$A^{II}La_2FeB^V_3O_{15}$	Фаза на основі $A^{II}Fe_{0.5}B^V_{0.5}O_3$ + фаза на основі $LaB^V_4O_4$

П р и м і т к и . Фази наведено в порядку зменшення їх кількісного вмісту.

тервали 870–1670 К свідчить про відсутність взаємодії між компонентами за цих умов. Основним компонентом ферумвмісних зразків після термообробки цихти СОГК із співвідношенням  $A^I : La : B^V : Fe = 3:2:3:1$  ( $A^I = Ba, Sr, B^V = Nb, Ta$ ) є фаза на основі первовськіту  $A^{II}Fe_{0.5}B^V_{0.5}O_3$  (таблиця).

Аналіз даних таблиці та робіт [1–12], де йдеться про решту відомих сполук типу  $(A^*A_4)(B^*B_3)O_{15}$  з чотиришаровою ШПС ( $A^IIa_4Ti_4O_{15}$ ,  $La_5B^{III}Ti_3O_{15}$ ,  $Ba_4LaTiB^V_3O_{15}$ ,  $Ba_4NdTiNb_3O_{15}$

( $A^{II} = Ca, Sr, Ba, B^{III} = Cr, Al, B^V = Nb, Ta$ )), дозволив встановити деякі умови „дорощування” числа шарів у первовськітоподібному блоці сполук  $A_4B_3O_{12}$  ( $n=4$ ) первовськітом  $A^*B^*O_3$ . Для їх визначення нами був застосований так званий геометричний підхід, який використовує порівняння розмірних характеристик фрагментів структур. Зокрема, необхідно умовою утворення чотиришарової ШПС сполук типу  $(A^*A_4)(B^*B_3)O_{15}$  за рівнянням (1) є сопромінність у площині XY первовськітоподіб-

ного блоку ШПС  $A_4B_3O_{12}$  ( $n=4$ ) з перовськітним блоком  $A^*B^*O_3$ . Її оцінка була проведена нами шляхом співставлення величин розрахункових значень періоду  $a$  недеформованої кубічної гратки перовськіту  $A^*B^*O_3$  та гіпотетичного періоду  $a^*$  недеформованого перовськітоподібного блоку  $A_4B_3O_{12}$ . Для розрахунку величин  $a_{ABO_3}$  і  $a^*_{A_4B_3O_{12}}$  використано емпіричне рівняння:

$$a_{\text{ПС}} = 1.33R_{B_{\text{VI}}} + 0.60R_{A_{\text{VIII}}} + 0.236 \text{ нм} \quad [13]$$

( $R_{B_{\text{VI}}}$  і  $R_{B_{\text{VIII}}}$  — ефективні іонні радіуси катіонів  $B$  і  $A^*$  з координаційними числами 6 і 8 відповідно [14]), яке дозволяє розраховувати періоди кристалічної гратки кубічного перовськіту з похибою не більше 0.5 %.

Одержані результати показали, що інтервал сорозмірності ( $|a^*_{A_4B_3O_{12}} - a_{ABO_3}|$ ) при „дорощуванні” перовськітам  $A^*B^*O_3$  четвертого шару октаедрів  $B^*O_6$  у перовськітоподібному блокі  $A_4B_3O_{12}$  досить обмежений і суттєво залежить від хімічного складу сполук  $A_4B_3O_{12}$  та  $A^*B^*O_3$ . У випадку однотипності атомів  $A$  і  $A^*$  або  $B$  і  $B^*$  (системи  $\text{La}_4\text{Ti}_3\text{O}_{12} + \text{LaB}^{\text{III}}\text{O}_3$  або  $\text{La}_4\text{Ti}_3\text{O}_{12} + \text{Al}^{\text{II}}\text{TiO}_3$ ) він знаходиться у межах 0—0.026 нм, а у випадку різnotипності цих атомів (системи  $\text{Ba}_3\text{La}^{\text{V}}\text{O}_{12} + \text{BaTiO}_3$  та  $\text{Ba}_3\text{NdNb}_3\text{O}_{12} + \text{BaTiO}_3$ ) він набагато менший і не перевищує 0.0007 нм. Така суттєва (майже в 40 разів) різниця в інтервалах сорозмірності вказує на низьку здатність чотиришарової ШПС сполук типу  $A_5B_4O_{15}$  до ізоморфних заміщень атомів.

Слід зауважити, що визначені геометричні умови є необхідними, але недостатніми для утворення чотиришарових сполук типу  $(A^*A_4)(B^*B_3)O_{15}$ . Зокрема, тільки їх впливом неможливо пояснити відсутність деяких шаруватих сполук у системах  $\text{A}^{\text{II}}_3\text{La}^{\text{IV}}\text{B}^{\text{V}}\text{O}_{12} + \text{A}^{\text{I}}\text{B}^{\text{V}}\text{O}_3$  ( $A = \text{Na}, \text{K}$ ,  $A^{\text{II}} = \text{Ba}, \text{Sr}$ ,  $B = \text{Nb}, \text{Ta}$ ) та  $\text{La}_4\text{Ti}_3\text{O}_{12} + \text{NaB}^{\text{V}}\text{O}_3$  ( $B = \text{Nb}, \text{Ta}$ ). Відносна різниця у розмірах катіонів  $\text{Sr}^{2+}$  і  $\text{Na}^+$  (3.3 %),  $\text{Ba}^{2+}$  і  $\text{K}^+$  (1.7 %) та  $\text{La}^{3+}$  і  $\text{Na}^+$  (2 %) досить невелична, тому причиною відсутності таких На-та K-вмісних чотиришарових сполук (таблиця) є, вірогідно, фактори, які викликані будовою електронних оболонок іонів, зокрема бі-

льша йонність зв’язку  $\text{Na}(\text{K})-\text{O}$  та менший заряд катіонів лужних металів.

**ВИСНОВКИ.** Таким чином, результати досліджень фазових співвідношень у 46 еквимолярних системах типу тришаровий  $A_4B_3O_{12} +$  перовськіт  $A^*B^*O_3$  ( $A = \text{Ba}, \text{Sr}, \text{La}$ ,  $A^* = \text{Na}, \text{K}, \text{Ba}, \text{Sr}, \text{La}$ ,  $B = \text{Ti}, \text{Nb}, \text{Ta}$ ,  $B^* = \text{Ga}, \text{Fe}, \text{Sc}, \text{In}, \text{Ti}, \text{Sn}, \text{Zr}, \text{Nb}, \text{Ta}$ ) та їх співставлення з даними про існування відомих сполук типу  $(A^*A_4)(B^*B_3)O_{15}$  дозволили визначити необхідні геометричні критерії утворення сполук типу  $A_5B_4O_{15}$  із чотиришаровою ШПС шляхом "дорощування" перовськітом  $A^*B^*O_3$  числа шарів октаедрів  $\text{BO}_6$  в перовськітоподібному блокі сполуки типу  $A_4B_3O_{12}$ .

#### ОСОБЕННОСТИ ОБРАЗОВАНИЯ СЛОЙСТЫХ СОЕДИНЕНИЙ ТИПА $A_nB_{n-1}O_{3n}$ В СИСТЕМАХ $A_4B_3O_{12}-A^*B^*O_3$

Ю.А.Титов<sup>1,\*</sup>, Н.С.Слободянік<sup>1</sup>, В.В.Полубинский<sup>2</sup>, В.В.Чумак<sup>3</sup>

<sup>1</sup> Киевский национальный университет им. Тараса Шевченко, ул. Владимирская, 64/13, Киев, 01601, Украина

<sup>2</sup> Луцкий филиал ТзОВ Медицинский колледж "Монада", ул. Домны Гордиюк, 6, Луцк, 43026, Украина

<sup>3</sup> Житомирский государственный университет им. Ивана Франко, ул. Большая Бердычевская, 40, Житомир, 10002, Украина

\* e-mail: tit@univ.kiev.ua

Проведено систематическое исследование возможности получения соединений семейства  $A_nB_{n-1}O_{3n}$  ( $n=5$ ) со слоистой перовскитоподобной структурой (СПС) в 46 эквимолярных системах типа  $A_4B_3O_{12} + A^*B^*O_3$ ,  $A_4B_3O_{12}F + A^*B^*O_3$ ,  $A_4B_3O_{12} + A^{\text{III}}B^{\text{III}}O_3$  ( $A = \text{Ba}, \text{Sr}, \text{La}$ ,  $A^{\text{II}} = \text{Na}, \text{K}$ ,  $A^{\text{I}} = \text{Ba}, \text{Sr}$ ,  $A^{\text{III}} = \text{La}$ ,  $B = \text{Ti}, \text{Nb}, \text{Ta}$ ,  $B^{\text{III}} = \text{Ga}, \text{Fe}, \text{Sc}, \text{In}$ ,  $B^{\text{IV}} = \text{Sn}, \text{Zr}$ ,  $B^{\text{V}} = \text{Nb}, \text{Ta}$ ). Проанализированы условия формирования соединений типа  $A_5B_4O_{15}$  с СПС и определены необходимые геометрические критерии их образования.

Ключевые слова: соединения типа  $A_nB_{n-1}O_{3n}$ , слоистая перовскитоподобная структура, эквимолярные системы.

THE PECULIARITIES OF FORMATION OF  $A_nB_{n-1}O_{3n}$  TYPE LAYERED COMPOUNDS IN THE  $A_4B_3O_{12}-A^*B^*O_3$  SYSTEMS

Y.A.Titov<sup>1\*</sup>, M.S.Slobodyanik<sup>1</sup>, V.V.Polybinskii<sup>2</sup>,  
V.V.Chumak<sup>3</sup>

<sup>1</sup> Taras Shevchenko National University of Kiev,  
64/13 Volodymyrska Str., Kyiv, 01601, Ukraine

<sup>2</sup> Lutsk branch of limited liability company  
Medical college "Monada", 6 Domny Gordiuk Str.,  
Lutsk, 43026, Ukraine

<sup>3</sup> Ivan Franko State University of Zhytomyr, 40  
Velyka Berdychivska Str., Zhytomyr, 10008, Ukraine  
\* e-mail: tit@univ.kiev.ua

Systematic investigation possibility of obtaining of  $A_nB_{n-1}O_{3n}$  ( $n = 5$ ) type compounds with layered perovskite-like structure (LPS) in 46 equimolar systems of  $A_4B_3O_{12} + A^{III}B^{III}O_3$  ( $A = Ba, Sr, La, A^{II}=Na, K, A^{III}=Ba, Sr, A^{IV}=La, B=Ti, Nb, Ta, B^{V}=Ga, Fe, Sc, In, B^{VI}=Sn, Zr, Ti, B^{VII}=Nb, Ta$ ) type has been realized. The conditions of formation of  $A_5B_4O_{15}$ -type compounds with LPS have been analyzed and necessary geometrical criteria of their buildup have been established.

**К e y w o r d s:** compounds  $A_nB_{n-1}O_{3n}$  – type, layered perovskite-like structure, equimolar systems.

## ЛІТЕРАТУРА

1. Lichtenberg F., Herrnberge A., Wiedenmann K. Synthesis, structural, magnetic and transport properties of layered perovskite-related titanates, niobates and tantalates of the type  $A_nB_nO_{3n+2}$ ,  $A'A_{k-1}B_kO_{3k+1}$  and  $A_mB_{m-1}O_{3m}$  // Progr. Sol. St. Chem. -2008. -36, № 4. -P. 253–387.
2. Kuang X., Allix M.M.B., Claridge J.B. et al. Crystal structure, microwave dielectric properties of B-cation deficient hexagonal perovskites  $La_5M_xTi_{4-x}O_{15}$  ( $x = 0.5, 1$ ;  $M = Zn, Mg, Ga, Al$ ) // J. Materials Chem. -2006. -16. -P. 1038–1045.
3. Fang L., Zhang H., Huang T.H. et al. Preparation, structure and dielectric properties of  $Ba_4LaM-Nb_3O_{15}$  ( $M = Ti, Sn$ ) ceramics // Materials Res. Bull. -2004. -39. -P. 1649–1654.
4. Jawahar I.N., Santha N.I., Sebastian M.T., Mohanan P. Microwave dielectric properties of MO- $La_2O_3-TiO_2$  ( $M = Ca, Sr, Ba$ ) ceramics // J. Materials Res. -2002. -17. -P. 3084–3089.
5. Fang L., Men S.S., Zhang H. et al. Structural and microwave dielectric properties of  $Ba_{5-x}La_xTi_xNb_{4-x}O_{15}$  ceramics // J. Electroceramics. -2008. -21. -P. 137–140.
6. Gui D., Zhang H., Fang L., Xue L. Microwave dielectric properties of  $Ba_4LaTiNb_{3-x}Ta_xO_{15}$  // J. Materials Sci: Materials in Electronics. -2008. -19. -P. 543–546.
7. Sebastian M.T. Dielectric Materials for Wireless Communication. -Oxford: Elsevier, 2008.

8. Jawahar I.N., Mahanan P., Sebastian M.T.  $A_5B_4O_{15}$  ( $A = Ba, Sr, Mg, Ca, Zn; B = Nb, Ta$ ) microwave dielectric ceramics // Materials Lett. -2003. -57. -P. 4043–4048.
9. Camba S., Petzelt J., Buixaderas E. et al. High frequency dielectric properties of  $A_5B_4O_{15}$  microwave ceramics // J. Appl. Phys. -2001. -89. -P. 3900–3906.
10. Fang L., Diao C.L., Zhang H. et al. Preparation and characterization of two new dielectric ceramics  $Ba_4NdTiNb_3O_{15}$  and  $Ba_3Nd_2Ti_2Nb_2O_{15}$  // J. Materials Sci.: Materials in Electronics. -2004. -15. -P. 803–805.
11. Тимов Ю.О., Білявина Н.М., Марків В.Я. та ін. Синтез і кристалічна структура  $La_5Ti_3ScO_{15}$  // Доп. НАН України. -2012. -№ 1. -С. 151–157.
12. Тимов Ю.О., Білявина Н.М., Марків В.Я. та ін. Кристалічна структура шаруватих перовськітів  $La_5Ti_3B^{III}O_{15}$  // Там же. -2013. -№ 5. -С. 160–166.
13. Armstrong R.A., Newnham R.E. Bismuth titanate solid solution // Materials Res. Bull. -1972. -7. -P. 1025–1034.
14. Shannon R.D. Revised effective ionic radii and systematic studies of interatomic distances in halides and halogenides // Acta Crystallogr. -1976. -A32. -P. 751–767.

## REFERENCES

1. Lichtenberg F., Herrnberge A., Wiedenmann K. Synthesis, structural, magnetic and transport properties of layered perovskite-related titanates, niobates and tantalates of the type  $A_nB_nO_{3n+2}$ ,  $A'A_{k-1}B_kO_{3k+1}$  and  $A_mB_{m-1}O_{3m}$ . Progr. Sol. St. Chem. 2008. 36 (4): 253.
2. Kuang X., Allix M.M.B., Claridge J.B., Niu H.J., Rosseinsky M.J., Ibberson R.M., Iddles D.M. Crystal structure, microwave dielectric properties of B-cation deficient hexagonal perovskites  $La_5M_xTi_{4-x}O_{15}$  ( $x = 0.5, 1$ ;  $M = Zn, Mg, Ga, Al$ ). J. Materials Chem. 2006. 16: 1038.
3. Fang L., Zhang H., Huang T.H., Yuan R.Z., Dronskowski R. Preparation, structure and dielectric properties of  $Ba_4LaM-Nb_3O_{15}$  ( $M = Ti, Sn$ ) ceramics. Materials Res. Bull. 2004. 39: 1649.
4. Jawahar I.N., Santha N.I., Sebastian M.T., Mohanan P. Microwave dielectric properties of MO- $La_2O_3-TiO_2$  ( $M = Ca, Sr, Ba$ ) ceramics. J. Materials Res. 2002. 17: 3084.
5. Fang L., Men S.S., Zhang H., Liu Z.Q., Liu H.F. Structural and microwave dielectric properties of  $Ba_{5-x}La_xNb_{4-x}O_{15}$  ceramics. J. Electroceramics. 2008. 21: 137.
6. Gui D., Zhang H., Fang L., Xue L. Microwave di-

- electric properties of  $\text{Ba}_4\text{LaTiNb}_{3-x}\text{Ta}_x\text{O}_{15}$ . *J. Materials Sci: Materials in Electronics*. 2008. **19**: 543.
7. Sebastian M.T. *Dielectric Materials for Wireless Communication*. (Oxford: Elsevier, 2008).
  8. Jawahar I.N., Mahanan P., Sebastian M.T.  $\text{A}_5\text{B}_4\text{O}_{15}$  ( $\text{A} = \text{Ba}, \text{Sr}, \text{Mg}, \text{Ca}, \text{Zn}; \text{B} = \text{Nb}, \text{Ta}$ ) microwave dielectric ceramics. *Materials Lett.* 2003. **57**: 4043.
  9. Camba S., Petzelt J., Buixaderas E., Haubrich D., Vaneek P., Kuzel P., Jawahar I.N., Sebastian M.T., Mohanan P. High frequency dielectric properties of  $\text{A}_5\text{B}_4\text{O}_{15}$  microwave ceramics. *J. Appl. Phys.* 2001. **89**: 3900.
  10. Fang L., Diao C.L., Zhang H., Yuan R.Z., Dronowski R., Lui H.X. Preparation and characterization of two new dielectric ceramics  $\text{Ba}_4\text{Nd}_2\text{Ti}_3\text{O}_{15}$  and  $\text{Ba}_3\text{Nd}_2\text{Ti}_2\text{Nb}_2\text{O}_{15}$ . *J. Materials Sci.: Materials in Electronics*. 2004. **15**: 803.
  11. Titov Y.A., Belyavina N.M., Markiv V.Ya., Slobodyanik M.S., Polybinskii V.V., Rogkov M.V. Synthesis and crystal structure of  $\text{La}_5\text{Ti}_3\text{ScO}_{15}$ . *Dopov. NAN Ukraine*. 2012. (1): 151. [in Ukrainian].
  12. Titov Y.A., Belyavina N.M., Markiv V.Ya., Slobodyanik M.S., Polybinskii V.V. Crystal structure of layer perovskites  $\text{La}_5\text{Ti}_3\text{B}^{III}\text{O}_{15}$ . *Dopov. NAN Ukraine*. 2013. (5): 160. [in Ukrainian].
  13. Armstrong R.A., Newnham R.E. Bismuth titanate solid solution. *Materials Res. Bull.* 1972. **7**: 1025.
  14. Shannon R.D. Revised effective ionic radii and systematic studies of interatomic distances in halides and halogenides. *Acta Crystallogr.* 1976. **A32**: 751.

Надійшла 18.10.2016